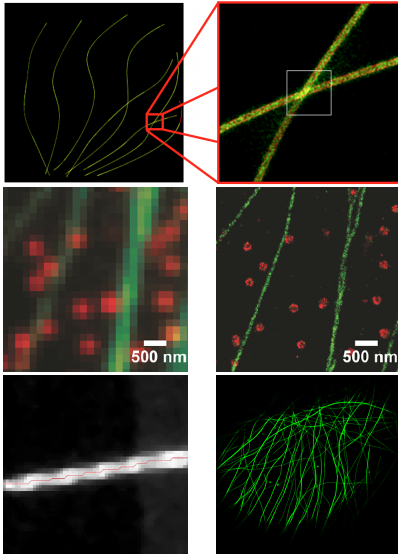


# Motivations



# Problème inverse

$$y = \mathbf{A}x$$

## Exemple (Opérateur de dégradation)

- $\mathbf{A}$  = sous-échantillonnage
- $\mathbf{A}$  = flou
- ...



# Problème inverse

$$y = Ax$$

## Exemple (Opérateur de dégradation)

- **A** = sous-échantillonnage
- **A** = flou
- ...

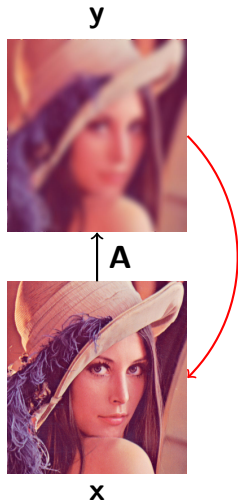


# Problème inverse

$$y = Ax$$

## Exemple (Opérateur de dégradation)

- **A** = sous-échantillonnage
- **A** = flou
- ...



# Problème inverse

$$y = Ax + \epsilon$$

## Exemple (Opérateur de dégradation)

- **A** = sous-échantillonnage
- **A** = flou
- ...



# Problème inverse

$$\mathbf{y} - \mathbf{Ax} = \boldsymbol{\epsilon}$$

## Exemple (Opérateur de dégradation)

- $\mathbf{A}$  = sous-échantillonnage
- $\mathbf{A}$  = flou
- ...



$\mathbf{y}$



$\mathbf{x}$

$\mathbf{A}$

# Problème inverse

Minimisation (attache aux données)

Problème **mal posé** :

$$\arg \min_x \frac{1}{2} \|\mathbf{y} - \mathbf{Ax}\|^2$$

Exemple (Opérateur de dégradation)

- **A** = sous-échantillonnage
- **A** = flou
- ...



# Problème inverse

Minimisation (régularisation convexe)

$$\arg \min_{\mathbf{x}} \frac{1}{2} \|\mathbf{y} - \mathbf{Ax}\|^2 + \boxed{\lambda R(\mathbf{x})}$$

Exemple (Régulariseur)

- $R(\mathbf{x}) = \|\nabla \mathbf{x}\|_2^2$  (Tikhonov, 1963)
- $R(\mathbf{x}) = \|\nabla \mathbf{x}\|_1$  (Rudin et coll., 1992)
- $R(\mathbf{x}) = \|\mathbf{x}\|_{\mathcal{A}}$  (Chandrasekaran, 2010)



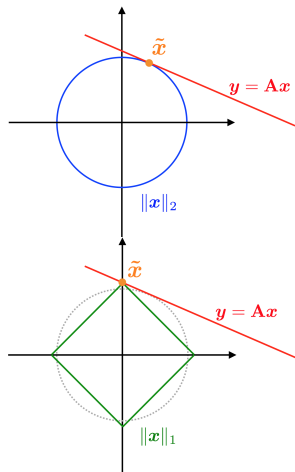
# Problème inverse

## Minimisation (régularisation convexe)

$$\arg \min_{\mathbf{x}} \frac{1}{2} \|\mathbf{y} - \mathbf{Ax}\|^2 + \boxed{\lambda R(\mathbf{x})}$$

## Exemple (Régulariseur)

- $R(\mathbf{x}) = \|\nabla \mathbf{x}\|_2^2$  (Tikhonov, 1963)
- $R(\mathbf{x}) = \|\nabla \mathbf{x}\|_1$  (Rudin et coll., 1992)
- $R(\mathbf{x}) = \|\mathbf{x}\|_{\mathcal{A}}$  (Chandrasekaran, 2010)



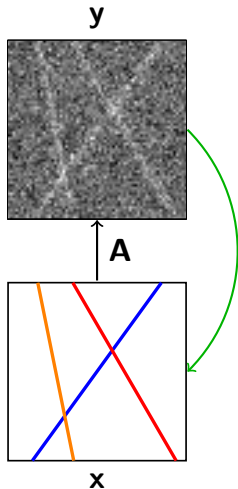
# Problème inverse

Minimisation (régularisation convexe)

$$\arg \min_{\mathbf{x}} \frac{1}{2} \|\mathbf{y} - \mathbf{Ax}\|^2 + \lambda R(\mathbf{x})$$

Exemple (Régulariseur)

- $R(\mathbf{x}) = \|\nabla \mathbf{x}\|_2^2$  (Tikhonov, 1963)
- $R(\mathbf{x}) = \|\nabla \mathbf{x}\|_1$  (Rudin et coll., 1992)
- $R(\mathbf{x}) = \|\mathbf{x}\|_{\mathcal{A}}$  (Chandrasekaran, 2010)



# Paradigme de la décomposition atomique

$$\mathbf{x} = \sum_{i=1}^K c_i \mathbf{a}_i, \quad c_i \geq 0, \quad \mathbf{a}_i \in \mathcal{A}$$

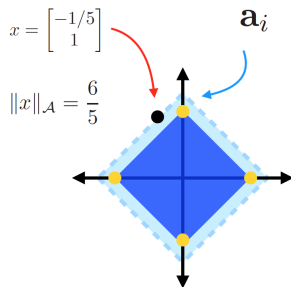
## Norme atomique

$$\begin{aligned} \|\mathbf{x}\|_{\mathcal{A}} &= \inf \{ t > 0 : \mathbf{x} \in t \text{conv}(\mathcal{A}) \} \\ &= \inf \left\{ \sum_{\mathbf{a} \in \mathcal{A}} c_{\mathbf{a}} : \mathbf{x} = \sum_{\mathbf{a} \in \mathcal{A}} c_{\mathbf{a}} \mathbf{a} \right\} \end{aligned}$$

$$\mathcal{A} = \left\{ \begin{bmatrix} 1 \\ 0 \end{bmatrix}, \begin{bmatrix} 0 \\ 1 \end{bmatrix}, \begin{bmatrix} -1 \\ 0 \end{bmatrix}, \begin{bmatrix} 0 \\ -1 \end{bmatrix} \right\}$$

$$\|\mathbf{x}\|_{\mathcal{A}} = \|\mathbf{x}\|_1$$

(Chandrasekaran et coll., 2010)



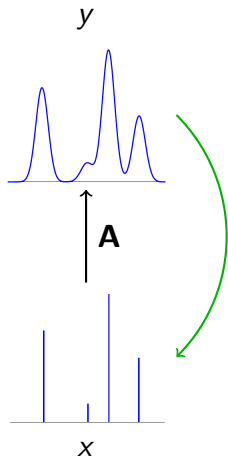
# Application : super-résolution d'impulsions 1-D

$$x = \sum_{i=1}^K c_i \delta_{t_i}, \quad c_i \geq 0, \quad t_i \geq 0$$

Minimisation (régularisation convexe)

$$\arg \min_x \frac{1}{2} \|y - \mathbf{A}x\|^2 + \lambda \|x\|_{\text{TV}}$$

Référence : (Candès et Fernandez-Granda, 2012)



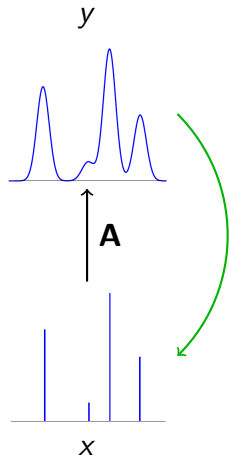
# Application : super-résolution d'impulsions 1-D

$$\mathcal{F}x = \sum_{i=1}^K c_i e^{j2\pi f_i \omega}, \quad c_i \geq 0, \quad t_i \geq 0$$

Minimisation (régularisation convexe)

$$\arg \min_x \frac{1}{2} \|y - \mathbf{A}x\|^2 + \lambda \|x\|_1$$

Référence : (Tang, Bhaskar, Recht et coll., 2013)



# Application : super-résolution d'impulsions 1-D

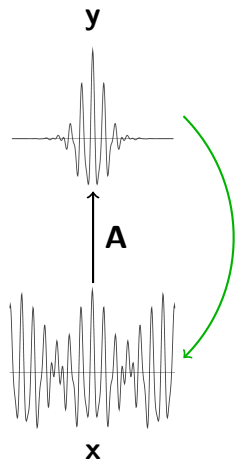
$$\mathbf{x} = \sum_{i=1}^K c_i \mathbf{a}(f_i), \quad c_i \geq 0, \quad \mathbf{a}(f_i) \in \mathcal{A}$$

$$\mathcal{A} = \{\mathbf{a}(f) \in \mathbb{C}^N\}, \quad [\mathbf{a}(f)]_n = e^{j2\pi fn}$$

Minimisation (régularisation convexe)

$$\arg \min_{\mathbf{x}} \frac{1}{2} \|\mathbf{y} - \mathbf{A}\mathbf{x}\|^2 + \lambda \|\mathbf{x}\|_{\mathcal{A}}$$

Référence : (Tang, Bhaskar, Recht et coll., 2013)



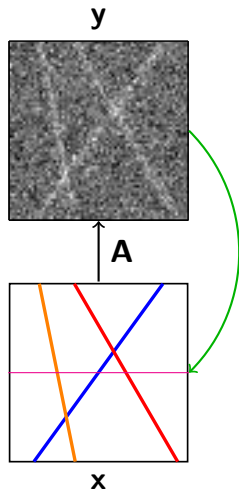
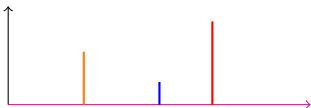
# Problème inverse

## Minimisation (régularisation convexe)

$$\arg \min_{\mathbf{x}} \frac{1}{2} \|\mathbf{y} - \mathbf{Ax}\|^2 + \lambda R(\mathbf{x})$$

## Exemple (Régulariseur)

- $R(\mathbf{x}) = \|\nabla \mathbf{x}\|_2^2$
- $R(\mathbf{x}) = \|\nabla \mathbf{x}\|_1$
- $R(\mathbf{x}) = \|\mathbf{x}\|_{\mathcal{A}}$  parcimonie



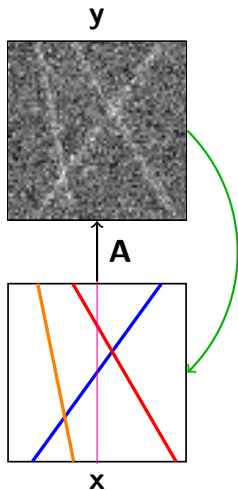
# Problème inverse

## Minimisation (régularisation convexe)

$$\arg \min_{\mathbf{x}} \frac{1}{2} \|\mathbf{y} - \mathbf{A}\mathbf{x}\|^2 + \lambda R(\mathbf{x})$$

## Exemple (Régulariseur)

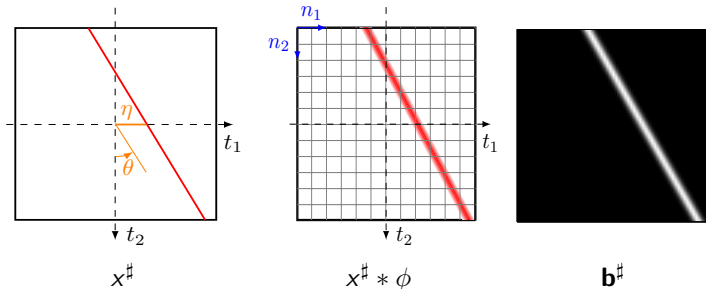
- $R(\mathbf{x}) = \|\nabla \mathbf{x}\|_2^2$
- $R(\mathbf{x}) = \|\nabla \mathbf{x}\|_1$
- $R(\mathbf{x}) = \|\mathbf{x}\|_{\mathcal{A}}$  parcimonie



# Modélisation des droites

$$x^\sharp : (t_1, t_2) \in \mathbb{P} \mapsto \sum_{k=1}^K \alpha_k \delta(\cos \theta_k (t_1 - \eta_k) + \sin \theta_k t_2)$$

$$b^\sharp[n_1, n_2] = (x^\sharp * \phi)(n_1, n_2)$$

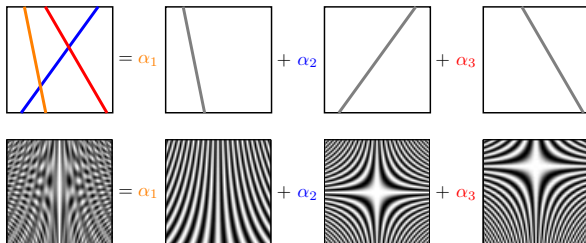


# Modélisation des droites

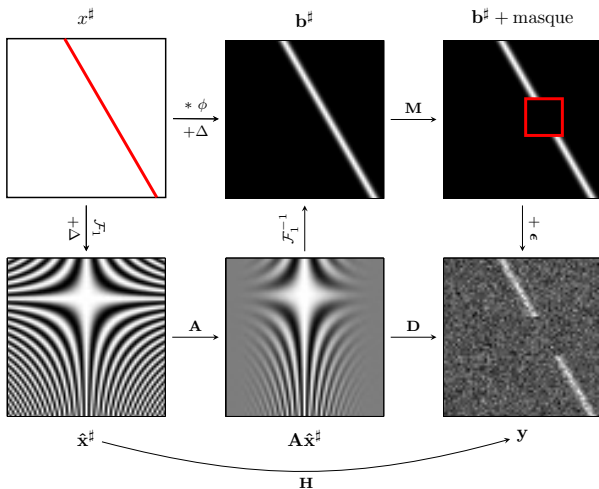
$$\hat{\mathbf{x}}^\sharp[m, n_2] = (\mathcal{F}_1 \mathbf{x}^\sharp)[m, n_2] = \sum_{k=1}^K c_k e^{j2\pi \left( \frac{\tan \theta_k}{W} n_2 + \frac{\eta_k}{W} \right) m}$$

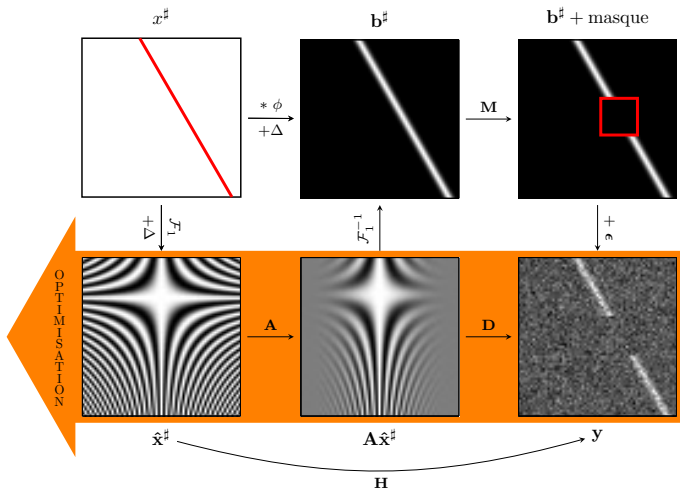
$$c_k = \frac{\alpha_k}{\cos \theta_k} \geq 0$$

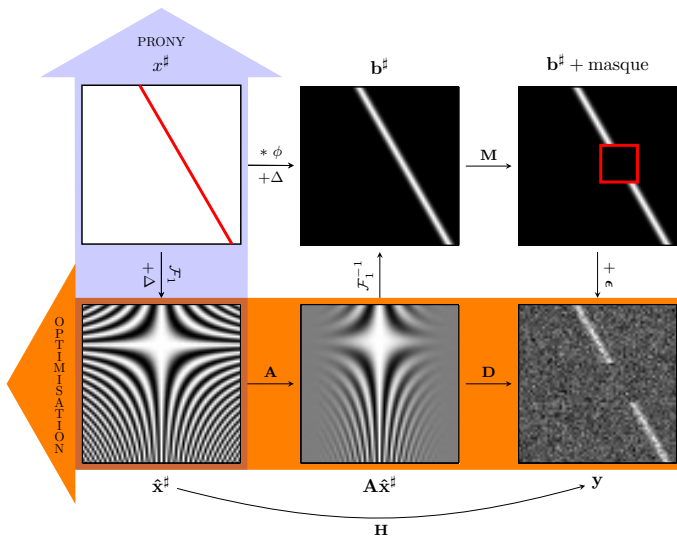
$$\hat{\mathbf{b}}^\sharp[m, :] = (\hat{\mathbf{g}}[m] \hat{\mathbf{x}}^\sharp[m, :]) * \mathbf{h} \rightarrow \mathbf{A} \hat{\mathbf{x}}^\sharp = \hat{\mathbf{b}}^\sharp$$



# Étapes de reconstruction







# Décomposition atomique des lignes

$$\hat{\mathbf{x}}^\sharp[m, n_2] = \sum_{k=1}^K c_k e^{j2\pi \left( \frac{\tan \theta_k}{W} n_2 + \frac{\eta_k}{W} \right) m}$$

$$I_{n_2}^\sharp = \hat{\mathbf{x}}^\sharp[:, n_2] = \sum_{k=1}^K c_k \mathbf{a}(f_{n_2, k}, 0), \quad [\mathbf{a}(f, \phi)]_i = e^{j(2\pi f i + \phi)} \in \mathcal{A}$$

# Décomposition atomique des colonnes

$$\hat{\mathbf{x}}^\sharp[m, n_2] = \sum_{k=1}^K c_k e^{j2\pi \left( \frac{\tan \theta_k}{W} m \right) n_2 + \frac{2\pi \eta_k m}{W}}$$

$$\mathbf{t}_m^\sharp = \hat{\mathbf{x}}^\sharp[m, :] = \sum_{k=1}^K c_k \mathbf{a}(f_{m,k}, \phi_{m,k})^\top, \quad [\mathbf{a}(f, \phi)]_i = e^{j(2\pi f i + \phi)} \in \mathcal{A}$$



# Décomposition atomique des lignes et colonnes

$$\hat{\mathbf{x}}^\# [m, n_2] = \sum_{k=1}^K c_k e^{j2\pi \left( \frac{\tan \theta_k}{W} n_2 + \frac{\eta_k}{W} \right) m}$$

①  $l_{n_2}^\# = \sum_{k=1}^K c_k \mathbf{a}(f_{n_2,k}, 0)$  (lignes de  $\hat{\mathbf{x}}$ , sans phase)

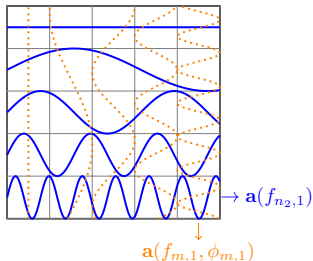
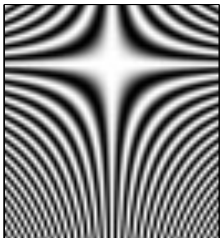
②  $t_m^\# = \sum_{k=1}^K c_k \mathbf{a}(f_{m,k}, \phi_{m,k})^\top$  (colonnes de  $\hat{\mathbf{x}}$ , avec phase)



# Décomposition atomique d'une droite ( $K = 1$ )

$$\hat{\mathbf{x}}^\sharp[m, n_2] = c_1 e^{j2\pi \left( \frac{\tan \theta_1}{W} n_2 + \frac{\eta_1}{W} \right) m}$$

- 1  $l_{n_2}^\sharp = c_1 \mathbf{a}(f_{n_2,1}, 0)$  (un atome sans phase)
- 2  $t_m^\sharp = c_1 \mathbf{a}(f_{m,1}, \phi_{m,1})^\top$  (un atome avec phase)



# Normes atomiques

$$\hat{\mathbf{x}}^\# [m, n_2] = \sum_{k=1}^K c_k e^{j2\pi \left( \frac{\tan \theta_k}{W} n_2 + \frac{\eta_k}{W} \right) m}, \quad \mathbf{c}^* = \sum_{k=1}^K c_k$$

- 1  $\mathbf{l}_{n_2}^\# = \sum_{k=1}^K c_k \mathbf{a}(f_{n_2,k}, 0)$  (lignes de  $\hat{\mathbf{x}}$ , sans phase)
- 2  $\mathbf{t}_m^\# = \sum_{k=1}^K c_k \mathbf{a}(f_{m,k}, \phi_{m,k})^\top$  (colonnes de  $\hat{\mathbf{x}}$ , avec phase)

**Norme atomique :**

$$\|z\|_{\mathcal{A}} = \inf_{c'_k, f'_k, \phi'_k} \left\{ \sum_k c'_k : z = \sum_k c'_k \mathbf{a}(f'_k, \phi'_k) \right\}$$



# Normes atomiques

$$\textcircled{1} \quad I_{n_2}^\# = \sum_{k=1}^K c_k \mathbf{a}(f_{n_2,k}, 0)$$

$\hookrightarrow \mathbf{T}_{M+1}(I_{n_2}^\#) \succcurlyeq 0$  + de rang  $K$  (Carathéodory, 1907)

$\hookrightarrow \|I_{n_2}^\#\|_{\mathcal{A}} = \sum_{k=1}^K c_k = \hat{\mathbf{x}}^\#[0, n_2]$

$$\textcircled{2} \quad \mathbf{t}_m^\# = \sum_{k=1}^K c_k \mathbf{a}(f_{m,k}, \phi_{m,k})^\top \quad (\text{Tang et coll., 2013})$$

$$\|\mathbf{t}_m^\#\|_{\mathcal{A}} = \inf_{\mathbf{q} \in \mathbb{C}^N, t \in \mathbb{R}} \left\{ \frac{1}{2} \text{Tr}(\mathbf{T}_N(\mathbf{q})) + \frac{1}{2} t : \begin{pmatrix} \mathbf{T}_N(\mathbf{q}) & \mathbf{t}_m^\# \\ \mathbf{t}_m^{\#*} & t \end{pmatrix} \succcurlyeq 0 \right\} .$$



# Normes atomiques

$$\textcircled{1} \quad \mathbf{I}_{n_2}^\# = \sum_{k=1}^K c_k \mathbf{a}(f_{n_2,k}, 0)$$

$$\Leftrightarrow \mathbf{T}_{M+1}(\mathbf{I}_{n_2}^\#) \succcurlyeq 0 + \text{de rang } K \quad (\text{Carathéodory, 1907})$$

$$\Leftrightarrow \|\mathbf{I}_{n_2}^\#\|_{\mathcal{A}} = \sum_{k=1}^K c_k = \hat{\mathbf{x}}^\#[0, n_2] = c^*$$

$$\textcircled{2} \quad \mathbf{t}_m^\# = \sum_{k=1}^K c_k \mathbf{a}(f_{m,k}, \phi_{m,k})^\top \quad (\text{Polisano et coll., 2016})$$

$$\|\mathbf{t}_m^\#\|_{\mathcal{A}} = \min_{\mathbf{q} \in \mathbb{C}^N} \left\{ q_0 : \underbrace{\begin{pmatrix} \mathbf{T}_N(\mathbf{q}) & \mathbf{t}_m^\# \\ \mathbf{t}_m^{\#*} & q_0 \end{pmatrix}}_{\mathbf{T}'_N(\mathbf{t}_m^\#, \mathbf{q})} \succcurlyeq 0 \right\} \equiv \text{SDP}(\mathbf{t}_m^\#),$$

$$\Leftrightarrow \|\mathbf{t}_m^\#\|_{\mathcal{A}} = \text{SDP}(\mathbf{t}_m^\#) = \mathbf{q}_m[0] \leq c^*$$



# Normes atomiques

$$\hat{\mathbf{x}}^\# [m, n_2] = \sum_{k=1}^K c_k e^{j2\pi \left( \frac{\tan \theta_k}{W} n_2 + \frac{\eta_k}{W} \right) m}, \quad c^* = \sum_{k=1}^K c_k$$

- 1  $\mathbf{l}_{n_2}^\# = \sum_{k=1}^K c_k \mathbf{a}(f_{n_2,k}, 0)$  (lignes de  $\hat{\mathbf{x}}$ , sans phase)
- 2  $\mathbf{t}_m^\# = \sum_{k=1}^K c_k \mathbf{a}(f_{m,k}, \phi_{m,k})^\top$  (colonnes de  $\hat{\mathbf{x}}$ , avec phase)

Caractérisation (convexe) des  $K$  droites par la norme atomique

- 1  $\|\mathbf{l}_{n_2}^\#\|_{\mathcal{A}} = c^* = \hat{\mathbf{x}}^\# [0, n_2]$  et  $\mathbf{T}_{M+1}(\mathbf{l}_{n_2}^\#) \succcurlyeq 0$
- 2  $\|\mathbf{t}_m^\#\|_{\mathcal{A}} = \text{SDP}(\mathbf{t}_m^\#) = \mathbf{q}_m[0] \leq c^*$ ,  $\mathbf{T}'_{H_S}(\mathbf{t}_m^\#, \mathbf{q}_m) \succcurlyeq 0$



# Problème d'optimisation convexe

## Proposition (Minimisation convexe)

$$\tilde{\mathbf{x}} \in \arg \min_{\hat{\mathbf{x}}, \mathbf{q} \in \mathcal{X} \times \mathcal{Q}} \frac{1}{2} \|\mathbf{A}\hat{\mathbf{x}} - \hat{\mathbf{y}}\|^2 ,$$

sous contraintes

$$\left\{ \begin{array}{l} \forall n_2 = 0, \dots, H_S - 1, \forall m = 0, \dots, M , \\ \hat{\mathbf{x}}[0, n_2] = \hat{\mathbf{x}}[0, 0] \leq c , \\ \mathbf{q}[m, 0] \leq c , \\ \mathbf{T}'_{H_S}(\hat{\mathbf{x}}[m, :], \mathbf{q}[m, :]) \succcurlyeq 0 , \\ \mathbf{T}_{M+1}(\hat{\mathbf{x}}[:, n_2]) \succcurlyeq 0 . \end{array} \right.$$



# Problème d'optimisation convexe

## Proposition (Minimisation convexe)

$$\tilde{\mathbf{x}} \in \arg \min_{\hat{\mathbf{x}}, \mathbf{q} \in \mathcal{X} \times \mathcal{Q}} \frac{1}{2} \|\mathbf{A}\hat{\mathbf{x}} - \hat{\mathbf{y}}\|^2 ,$$

sous contraintes

$$\left\{ \begin{array}{l} \forall n_2 = 0, \dots, H_S - 1, \forall m = 0, \dots, M , \\ \hat{\mathbf{x}}[0, n_2] = \hat{\mathbf{x}}[0, 0] \leq c , \\ \mathbf{q}[m, 0] \leq c , \\ \mathbf{T}'_{H_S}(\hat{\mathbf{x}}[m, :], \mathbf{q}[m, :]) \succcurlyeq 0 , \\ \mathbf{T}'_{M+1}(\hat{\mathbf{x}}[:, n_2]) \succcurlyeq 0 . \end{array} \right.$$

(Chambolle et Pock, 2010)

$$\tilde{\mathbf{X}} = \arg \min_{\mathbf{X} \in \mathcal{H}} \left\{ F(\mathbf{X}) + G(\mathbf{X}) + \sum_{i=0}^{Q-1} H_i(L_i(\mathbf{X})) \right\}$$

# Problème d'optimisation convexe

## Proposition (Minimisation convexe)

$$\tilde{\mathbf{x}} \in \arg \min_{\hat{\mathbf{x}}, \mathbf{q} \in \mathcal{X} \times \mathcal{Q}} \frac{1}{2} \|\mathbf{A}\hat{\mathbf{x}} - \hat{\mathbf{y}}\|^2,$$

sous contraintes

$$\left\{ \begin{array}{l} \forall n_2 = 0, \dots, H_S - 1, \forall m = 0, \dots, M, \\ \hat{\mathbf{x}}[0, n_2] = \hat{\mathbf{x}}[0, 0] \leq c, \\ \mathbf{q}[m, 0] \leq c, \\ \mathbf{T}'_{H_S}(\hat{\mathbf{x}}[m, :], \mathbf{q}[m, :]) \succcurlyeq 0, \\ \mathbf{T}_{M+1}(\hat{\mathbf{x}}[:, n_2]) \succcurlyeq 0. \end{array} \right.$$

(Chambolle et Pock, 2010)

$$\tilde{\mathbf{X}} = \arg \min_{\mathbf{X} \in \mathcal{H}} \left\{ F(\mathbf{X}) + G(\mathbf{X}) + \sum_{i=0}^{Q-1} H_i(L_i(\mathbf{X})) \right\}$$

# Problème d'optimisation convexe

## Proposition (Minimisation convexe)

$$\tilde{\mathbf{x}} \in \arg \min_{\hat{\mathbf{x}}, \mathbf{q} \in \mathcal{X} \times \mathcal{Q}} \frac{1}{2} \|\mathbf{A}\hat{\mathbf{x}} - \hat{\mathbf{y}}\|^2,$$

sous contraintes

$$\left\{ \begin{array}{l} \forall n_2 = 0, \dots, H_S - 1, \forall m = 0, \dots, M, \\ \hat{\mathbf{x}}[0, n_2] = \hat{\mathbf{x}}[0, 0] \leq c, \\ \mathbf{q}[m, 0] \leq c, \\ \mathbf{T}'_{H_S}(\hat{\mathbf{x}}[m, :], \mathbf{q}[m, :]) \succcurlyeq 0, \\ \mathbf{T}_{M+1}(\hat{\mathbf{x}}[:, n_2]) \succcurlyeq 0. \end{array} \right.$$

(Chambolle et Pock, 2010)

$$\tilde{\mathbf{X}} = \arg \min_{\mathbf{X} \in \mathcal{H}} \left\{ F(\mathbf{X}) + G(\mathbf{X}) + \sum_{i=0}^{Q-1} H_i(L_i(\mathbf{X})) \right\}$$

# Problème d'optimisation convexe

## Proposition (Minimisation convexe)

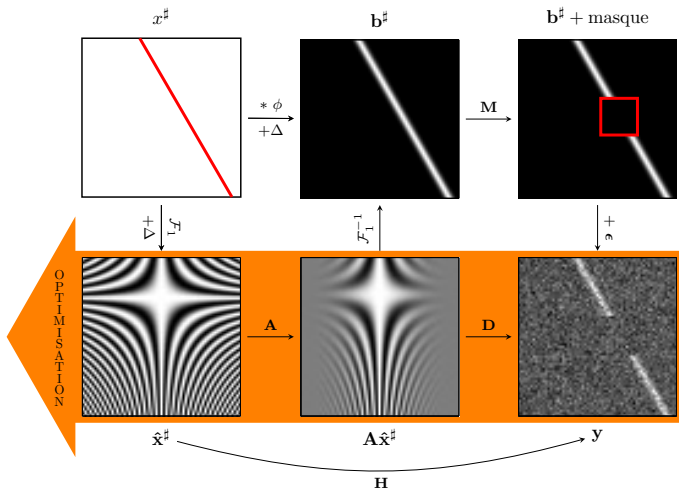
$$\tilde{\mathbf{x}} \in \arg \min_{\hat{\mathbf{x}}, \mathbf{q} \in \mathcal{X} \times \mathcal{Q}} \frac{1}{2} \|\mathbf{A}\hat{\mathbf{x}} - \hat{\mathbf{y}}\|^2 ,$$

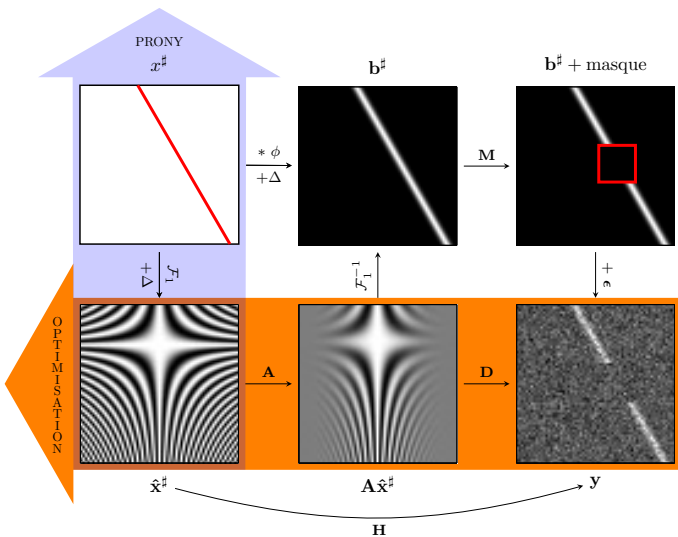
sous contraintes

$$\left\{ \begin{array}{l} \forall n_2 = 0, \dots, H_S - 1, \forall m = 0, \dots, M , \\ \hat{\mathbf{x}}[0, n_2] = \hat{\mathbf{x}}[0, 0] \leq c , \\ \mathbf{q}[m, 0] \leq c , \\ \mathbf{T}'_{H_S}(\hat{\mathbf{x}}[m, :], \mathbf{q}[m, :]) \succeq 0 , \\ \mathbf{T}'_{M+1}(\hat{\mathbf{x}}[:, n_2]) \succeq 0 . \end{array} \right.$$

(Chambolle et Pock, 2010)

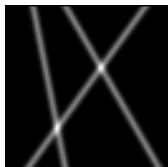
$$\tilde{\mathbf{X}} = \arg \min_{\mathbf{X} \in \mathcal{H}} \left\{ F(\mathbf{X}) + G(\mathbf{X}) + \sum_{i=0}^{Q-1} H_i(L_i(\mathbf{X})) \right\}$$



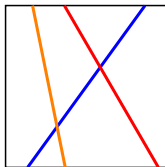


# Expériences numériques

- Débruitage et déconvolution



Exp. 1



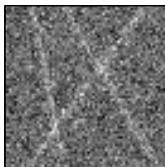
Détection

# Expériences numériques

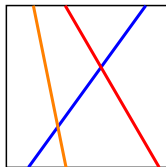
- Débruitage et déconvolution



Exp. 1



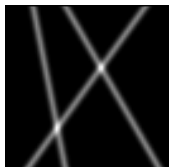
Exp. 2



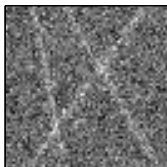
Détection

# Expériences numériques

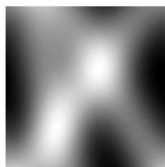
- Débruitage et déconvolution



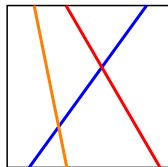
Exp. 1



Exp. 2



Exp 3.



Détection

# Expériences numériques

- Débruitage et déconvolution

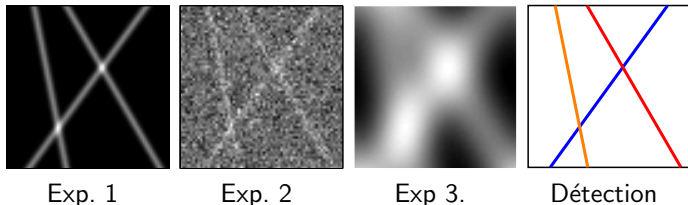


TABLE: Erreurs relatives de l'estimation des paramètres des lignes

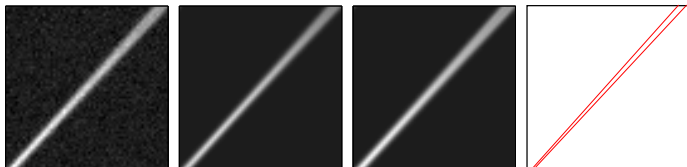
	Expérience 1	Expérience 2	Expérience 3
$\Delta_\theta/\theta$	$(10^{-7}, 3.10^{-6}, 7.10^{-7})$	$(10^{-2}, 6.10^{-2}, 9.10^{-2})$	$(6.10^{-7}, 9.10^{-5}, 8.10^{-6})$
$\Delta_\alpha/\alpha$	$(10^{-7}, 10^{-7}, 10^{-7})$	$(10^{-2}, 9.10^{-2}, 2.10^{-1})$	$(4.10^{-5}, 2.10^{-5}, 2.10^{-5})$
$\Delta_\eta$	$(4.10^{-6}, 7.10^{-6}, 7.10^{-6})$	$(5.10^{-2}, 4.10^{-2}, 3.10^{-2})$	$(5.10^{-5}, 10^{-4}, 3.10^{-4})$

# Expériences numériques



# Expériences numériques

- Lignes proches



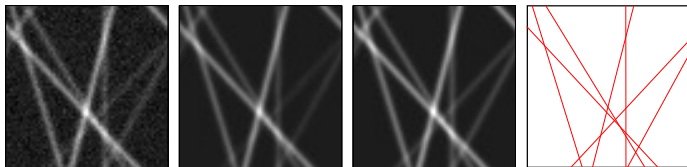
Bruitée

Débruitée

Sans bruit

Détection

- Lignes multiples



Bruitée

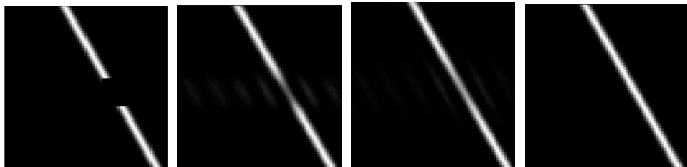
Débruitée

Sans bruit

Détection

# Expériences numériques

- Inpainting spatial



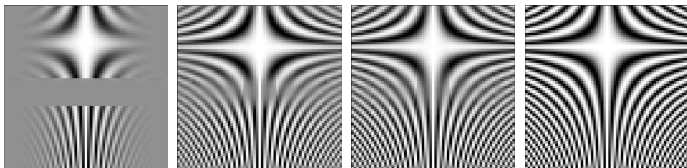
Masquage

iter = 2000

iter = 10000

iter  $\rightarrow \infty$

- Inpainting en Fourier



Masquage

iter = 2000

iter = 10000

iter  $\rightarrow \infty$

# Expériences numériques

- Inpainting masquage important



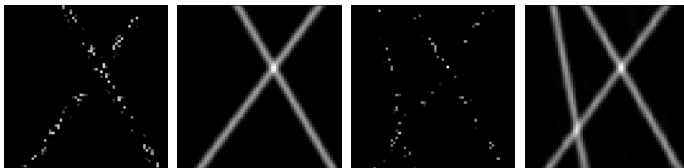
Masquage

Inpainting

Masquage

Inpainting

- Inpainting masquage aléatoire



Masquage

Inpainting

Masquage

Inpainting